

УДК 533.95

X. С. Кестенбойм, Е. В. Метелкин, Г. В. Федорович,  
А. Г. Фролов

О ВЛИЯНИИ МАГНИТНОЙ ВЯЗКОСТИ  
НА РАЗВИТИЕ НЕУСТОЙЧИВОСТИ ГРАНИЦЫ  
ПЛАЗМЕННОГО СГУСТКА В ОДНОРОДНОМ МАГНИТНОМ ПОЛЕ

Исследование динамики плазменных сгустков, движущихся в магнитном поле, представляет интерес для решения ряда задач астрофизики [1], геофизики [2, 3], а также для интерпретации экспериментов с лабораторной плазмой [4–6].

Задача о разлете плазменного облака в магнитном поле рассматривалась многими авторами (см., например, [7–13]). Суммируя их результаты, можно заключить, что к настоящему времени развиты достаточно полные представления о характере движения плазменных сгустков в магнитном поле. Отметим, что в ряде работ использовалась сложная кинетико-гидродинамическая модель, приводящая к громоздким численным расчетам [11, 12]. Важный вопрос о неустойчивостях, характеризующих динамику плазменного облака в магнитном поле, остается недостаточно изученным, так как его рассмотрение связано с дальнейшим усложнением математической модели. Основные результаты по возникновению магнитогидродинамических (МГД) неустойчивостей получены, как правило, на основе анализа дисперсионных соотношений (см. [14]).

Цель настоящей работы — формулировка модели динамики плазменного облака в магнитном поле, с одной стороны, достаточно простой для математического анализа, а с другой — достаточно полной, чтобы в ее рамках можно было описывать особенности развития МГД-неустойчивостей поверхности облака. В качестве таковой ниже рассматривается модель плазменного облака, заполненного слабонеоднородной бесстолкновительной замагниченной плазмой. Для описания плазмы используется модель Чу — Гольдбергера — Лоу (ЧГЛ) [14] с учетом поправок, связанных с конечностью ларморовского радиуса ионов, приводящих к появлению вязкости в уравнениях [15]. Граница плазменного облака описывается математически как разрыв полей и параметров плазмы. Задача о движении границы может быть сформулирована так, что в нее войдут только параметры, характеризующие саму границу. Это позволяет использовать метод контурной динамики для описания неустойчивости границы плазмы с вакуумом в том случае, когда поверхность искривлена. Соответствующая неустойчивость носит название желобковой или перестановочной, условия возникновения ее проанализированы в [16]. Заметим, что учет гировязкости дал возможность объяснить наблюдавшийся в эксперименте пространственный спектр поверхностных неустойчивостей плазменного сгустка, а также привел к установлению направленного движения желобков вдоль поверхности плазмы поперек магнитного поля.

1. Уравнения. В рамках ЧГЛ-приближения плазма описывается системой уравнений [14]

$$(1.1) \quad \frac{d\rho}{dt} + \rho \operatorname{div} \mathbf{V} = 0, \quad \frac{d}{dt} \frac{p_{\perp}}{\rho B} = 0, \quad \frac{d}{dt} \frac{p_{\parallel} B^2}{\rho^3} = 0,$$

$$\rho \frac{d\mathbf{V}}{dt} = -\operatorname{div} \mathbf{P} + \frac{1}{c} (\mathbf{j} \times \mathbf{B}), \mathbf{E} + \frac{1}{c} (\mathbf{V} \times \mathbf{B}) = 0,$$

где  $\rho$  — плотность плазмы;  $\mathbf{P}$  — тензор давления, компоненты которого зависят от величин  $p_{\perp}$  и  $p_{\parallel}$ , характеризующих поперечное и продольное по отношению к магнитному полю давление плазмы.

Электрическое  $\mathbf{E}$  и магнитное  $\mathbf{B}$  поля определяются из решения уравнений Максвелла для квазинейтральной плазмы:

$$(1.2) \quad \operatorname{rot} \mathbf{B} = \frac{4\pi}{c} \mathbf{j}, \operatorname{rot} \mathbf{E} = -\frac{1}{c} \frac{\partial \mathbf{B}}{\partial t}, \operatorname{div} \mathbf{B} = 0, \operatorname{div} \mathbf{E} = 0.$$

При исследовании неустойчивости границы замагниченной плазмы надо интегрировать уравнения (1.1) и (1.2) в облаке со свободной поверхностью. Поскольку такая задача чрезвычайно сложна, то целесообразно принять ряд упрощающих предположений.

Прежде всего для изучения эволюции желобковых возмущений ограничимся рассмотрением центрального, поперечного к внешнему магнитному полю сечения облака (рис. 1). При этом трехмерная задача сводится к плоской. Предполагая симметрию облака относительно центрального сечения, отметим, что внешнее поле  $\mathbf{B}_0$  и поле  $\mathbf{B}$  внутри плазмы ортогональны к плоскости сечения. Тогда для тока и скорости частиц, находящихся в рассматриваемой плоскости, из последних уравнений системы (1.1) получим

$$(1.3) \quad \mathbf{j} = \frac{c}{B^2} \mathbf{B} \times \left( \rho \frac{d\mathbf{V}}{dt} + \operatorname{div} \mathbf{P} \right), \mathbf{V} = \frac{c}{B^2} (\mathbf{E} \times \mathbf{B}).$$

Разложим магнитное поле в плазме на постоянную и однородную часть  $\mathbf{B}_1$  и переменную поправку  $\mathbf{B}'_1$ . Подставляя  $\mathbf{B} = \mathbf{B}_1 + \mathbf{B}'_1$  в первое уравнение (1.2) и привлекая выражение для тока из (1.3), легко показать, что поправка  $\mathbf{B}'_1$  оказывается малой по сравнению с  $\mathbf{B}_1$ , если скорость дрейфа частиц  $V$  значительно меньше альфеновской  $V_a = B/\sqrt{4\pi\rho}$  и давление частиц плазмы значительно меньше магнитного. Так как для поздней стадии разлета характерны указанные условия, будем считать, что магнитное поле внутри плазмы постоянно. Скачок поля на поверхности облака (переход от  $B_0$  к  $B_1$ ) определяется поверхностным током, текущим по контуру  $L$ , ограничивающему центральное сечение, а объемные токи слабо искажают магнитное поле  $\mathbf{B}_1$ .

Предположение о постоянстве поля приводит к выполнению равенств  $\operatorname{rot} \mathbf{B} = 0$ ,  $\operatorname{rot} \mathbf{E} = 0$  внутри контура, что влечет за собой условие несжимаемости ( $\operatorname{div} \mathbf{V} = 0$ ) для плазмы. Полагая далее, что в начальный момент времени  $\rho$ ,  $p_{\perp}$ ,  $p_{\parallel}$  постоянны в центральном сечении облака, из уравнений (1.1) получим, что они остаются постоянными и во все последующие промежутки времени. Отмеченные обстоятельства стимулируют

дальнейшее упрощение постановки задачи: выводятся уравнения эволюции контура  $L$  как математической поверхности разрыва полей и параметров плазмы. Задача о положении границы может быть сформулирована так, что в ней войдут только параметры, характеризующие саму границу. Это позволяет свести анализ развития неустойчивости поверхности плазменного облака к решению одномерной нестационарной задачи.

Движение границы центрального сечения определяется, если в каждой ее точке известна нормальная скорость  $D$ , совпадающая с нормальной состав-

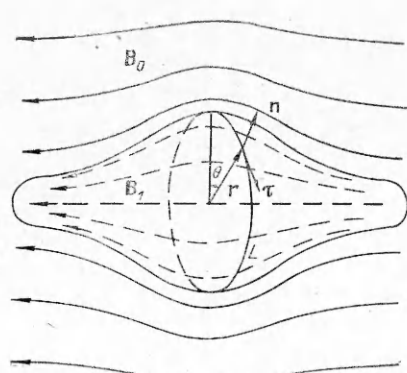


Рис. 1

ляющей к границе скорости дрейфа  $V_n$ :

$$(1.4) \quad D = -cE_\tau/B_1.$$

Отсюда следует, что задача состоит в нахождении компонент  $E_\tau$  и  $E_n$  электрического поля, которое индуцируется при перемещении границы и зависит от накопления на ней поверхностного заряда (индексами  $n$  и  $\tau$  отмечаются проекции на внешнюю нормаль и касательную к границе центрального сечения  $L$ ).

Пусть на  $L$  задан скачок напряженности магнитного поля  $[B] = B_0 - B_1$  и имеется поверхностный заряд  $\sigma$ . Тогда [17] электрическое поле будет претерпевать разрыв на контуре:

$$[E_\tau] = -Dc^{-1}[B], [E_n] = 4\pi\sigma, [E_\tau] = E_\tau^+ - E_\tau^-, [E_n] = E_n^+ - E_n^-,$$

где знаком  $+$  ( $-$ ) отмечена внешняя (внутренняя) по отношению к контуру  $L$  область. Представим поле в виде суперпозиции  $\mathbf{E} = \Psi + \Phi$  вихревого и поляризационного полей, для которых вне границы

$$(1.5) \quad \operatorname{rot} \Psi = 0, \operatorname{div} \Psi = 0, \operatorname{rot} \Phi = 0, \operatorname{div} \Phi = 0,$$

а на границе

$$(1.6) \quad [\Psi_\tau] = -Dc^{-1}[B], [\Psi_n] = 0, [\Phi_\tau] = 0, [\Phi_n] = 4\pi\sigma.$$

Введем функцию тока  $\psi$  и потенциал  $\varphi$ :  $\Psi = -\mathbf{b} \times \operatorname{grad} \psi$ ,  $\Phi = -\operatorname{grad} \varphi$ ,  $\mathbf{b} = \mathbf{B}/B$ , откуда, используя (1.5), в силу двумерности течения имеем

$$(1.7) \quad \Delta\psi = 0, \Delta\varphi = 0.$$

Учитывая, что

$$(1.8) \quad \Psi_\tau = \frac{\partial\psi}{\partial\mathbf{n}}, \Psi_n = -\frac{\partial\psi}{\partial\tau}, \Phi_\tau = -\frac{\partial\varphi}{\partial\tau}, \Phi_n = -\frac{\partial\varphi}{\partial\mathbf{n}},$$

из (1.6) получаем условия для функций  $\psi$  и  $\varphi$  на границе  $L$ :

$$(1.9) \quad \left[ \frac{\partial\psi}{\partial\mathbf{n}} \right] = -\frac{D}{c}[B], \left[ \frac{\partial\psi}{\partial\tau} \right] = 0, \left[ \frac{\partial\varphi}{\partial\mathbf{n}} \right] = -4\pi\sigma, \left[ \frac{\partial\varphi}{\partial\tau} \right] = 0.$$

Таким образом, сформулированы задачи (1.7), (1.9) о сопряжении на  $L$  гармонических функций с непрерывной касательной и претерпевающей заданный скачок нормальной производными. Условия разрешимости этих задач при достаточной гладкости  $L$  запишем в виде

$$(1.10) \quad \oint_L Dds = 0, \oint_L \sigma ds = 0.$$

Решения задач (1.7), (1.9) ищутся в виде логарифмического потенциала простого слоя с плотностью  $\mu$  ( $s'$  — натуральный параметр кривой,  $\mathbf{r}'$  — соответствующий точке  $s'$  вектор):

$$Q(\mathbf{r}) = \oint_L \mu(\mathbf{r}') \ln \frac{1}{s'} ds', \delta r = |\mathbf{r}' - \mathbf{r}|.$$

Выпишем известные [18] выражения для граничных значений нормальной производной потенциала  $Q$ :

$$(1.11) \quad \begin{aligned} \frac{\partial Q^+(\mathbf{r})}{\partial\mathbf{n}} &= -\pi\mu(\mathbf{r}) + \oint_L \mu(\mathbf{r}') \frac{\cos\alpha}{\delta r} ds', \\ \frac{\partial Q^-(\mathbf{r})}{\partial\mathbf{n}} &= \pi\mu(\mathbf{r}) + \oint_L \mu(\mathbf{r}') \frac{\cos\alpha}{\delta r} ds' \end{aligned}$$

( $\alpha$  — угол между векторами  $\mathbf{r}' - \mathbf{r}$  и  $\mathbf{n}$ ). Тогда

$$(1.12) \quad [\partial Q/\partial\mathbf{n}] = -2\pi\mu.$$

Производная  $\partial Q/\partial \tau$  вдоль касательного направления к границе, согласно [18], непрерывна ( $\beta$  — угол между  $\mathbf{r}'$  —  $\mathbf{r}$  и  $\tau$ ):

$$(1.13) \quad \frac{\partial Q(\mathbf{r})}{\partial \tau} = \oint_L \mu(\mathbf{r}') \frac{\cos \beta}{\delta r} ds'.$$

Условия (1.12), (1.13) согласуются с (1.9) при  $\mu_\phi = D[B]/(2\pi c)$ ,  $\mu_\varphi = 2\sigma$ .

Используя эти соотношения для плотности «источников», создающих поля  $\Psi$  и  $\Phi$ , и формулы (1.8), (1.11), (1.13), находим компоненты поля  $\mathbf{E}$  на границе при подходе к ней со стороны плазмы:

$$(1.14) \quad E_\tau^- = \frac{D[B]}{2c} + \frac{[B]}{2\pi c} \oint_L D \frac{\cos \alpha}{\delta r} ds' - 2 \oint_L \sigma \frac{\cos \beta}{\delta r} ds',$$

$$E_n^- = -2\pi\sigma - \frac{[B]}{2\pi c} \oint_L D \frac{\cos \beta}{\delta r} ds' - 2 \oint_L \sigma \frac{\cos \alpha}{\delta r} ds'.$$

Соотношение (1.4) дополняет уравнения (1.14), связывая  $E_\tau$  с  $D$ . Для замыкания системы уравнений нужно выразить заряд  $\sigma$  через компоненты поля  $\mathbf{E}$ . Воспользуемся уравнением сохранения заряда

$$(1.15) \quad \partial \sigma / \partial t = j_n,$$

связывающего плотность поверхностного заряда с нормальной составляющей тока  $j_n$  к границе. Выражение для  $j_n$  находится из соотношения (1.3), записанного на границе центрального сечения облака в проекции на нормаль к контуру  $L$ . Подставляя результат, полученный с учетом однородности распределения параметров плазмы внутри облака, в формулу (1.15), выведем соотношение

$$\frac{\partial \sigma}{\partial t} = \frac{c^2}{B_1^2} \rho \frac{\partial E_n^-}{\partial t} + \frac{c}{B_1} (\operatorname{div} \mathbf{P})_\tau,$$

дополняющее уравнения (1.4), (1.14) до замкнутой системы.

Исключим из этой системы  $E_n$  и  $E_\tau$ , учтем, что  $V_a/c \ll 1$ , и введем вместо  $\sigma$  новую переменную  $\Sigma = 4\pi c \sigma / (B_0 + B_1)$ . В результате имеем систему уравнений для двух неизвестных функций  $D$ ,  $\Sigma$ :

$$(1.16) \quad D(t, \mathbf{r}) = \frac{-[B]}{\pi(B_0 + B_1)} \oint_L D \frac{\cos \alpha}{\delta r} ds' + \oint_L \Sigma \frac{\cos \beta}{\delta r} ds',$$

$$\frac{\partial \Sigma(t, \mathbf{r})}{\partial t} = \frac{2B_1 (\operatorname{div} \mathbf{P})_\tau}{\rho(B_0 + B_1)} - \frac{1}{\pi} \frac{\partial}{\partial t} \left\{ \frac{[B]}{B_0 + B_1} \oint_L D \frac{\cos \beta}{\delta r} ds' + \oint_L \Sigma \frac{\cos \alpha}{\delta r} ds' \right\}.$$

Если величина  $(\operatorname{div} \mathbf{P})_\tau$  на границе известна, то из (1.16) можно определить  $D(t, \mathbf{r})$  и соответственно описать эволюцию контура  $L$ . В общем случае (см. [14])

$$(1.17) \quad (\operatorname{div} \mathbf{P})_\tau = \{\operatorname{grad} p_\perp + (p_\parallel - p_\perp)(\mathbf{b} \operatorname{grad})\mathbf{b}\}_\tau.$$

Связь между  $\operatorname{grad} p_\perp$  и вектором кривизны  $(\mathbf{b} \operatorname{grad})\mathbf{b}$  на границе плазмы можно найти из условия равенства на ней нулю нормальной составляющей тока намагничивания [19]. Учитывая, что  $p_\perp/B^2 \ll 1$ , для центрального сечения облака имеем

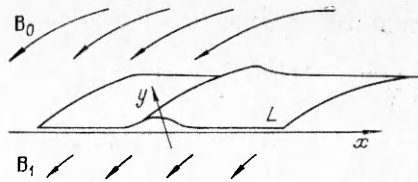
$$(\mathbf{j}_m)_\perp = -c \operatorname{rot} (p_\perp \mathbf{b}/B) = -cb/B \times \{2p_\perp (\mathbf{b} \operatorname{grad})\mathbf{b} - \operatorname{grad} p_\perp\}.$$

Определяя отсюда  $(\mathbf{j}_m)_n$ , приравнивая к нулю и привлекая (1.17), окончательно получим, что на границе

$$(1.18) \quad (\operatorname{div} \mathbf{P})_\tau = \{(p_\perp + p_\parallel)(\mathbf{b} \operatorname{grad})\mathbf{b}\}_\tau.$$

**2. Вязкость.** При анализе неустойчивости плазмы на основе ЧГЛ-приближения обнаруживается существование решений вида  $\exp(-i\omega t + ik\mathbf{r})$ , причем инкремент неустойчивости  $\gamma = \operatorname{Im}(\omega)$  неограниченно растет с увеличением волнового числа  $k$  [14]. Реально при больших  $k$  станов-

Рис. 2



вятся существенными отклонения свойств плазмы от ее МГД-модели. Основная причина таких отклонений очевидна — конечность ларморовского радиуса ионов  $R_i$ .

Как показано в [15], учет конечности  $R_i$  в ЧГЛ-модели приводит к представлению тензора давления в виде  $\mathbf{P} = \mathbf{p} + \mathbf{q}$ , где тензор  $\mathbf{p}$  отвечает анизотропному давлению в плазме, а тензор  $\mathbf{q}$  характеризует вязкие поправки порядка  $1/\omega_i$  ( $\omega_i$  — циклотронная частота ионов). Общее выражение для  $\mathbf{q}$  получено в [20]. Считая, что магнитные силовые линии внешнего поля, вытесняемого плазмой, имеют постоянный радиус кривизны  $R_b$ , и пренебрегая членами порядка  $1/(\omega_i R_b)$ ,  $1/R_b^2$ , из [20] с учетом (1.18) можно получить выражение для  $(\text{div } \mathbf{P})_\tau = (\text{div } \mathbf{q})_\tau + (\text{div } \mathbf{p})_\tau$  на границе центрального сечения облака:

$$(2.1) \quad (\text{div } \mathbf{P})_\tau = -\frac{p_\perp}{2\omega_i} \frac{\partial^2 D}{\partial s^2} - \frac{p_\perp + p_\parallel}{R_b} \cos \eta.$$

Здесь  $\eta$  — угол между радиусом-вектором  $\mathbf{r}$ , проведенным от оси облака к некоторой точке контура  $L$ , и вектором касательной  $\tau$  в той же точке. Подстановкой (2.1) в (1.16) завершается вывод замкнутой системы.

**3. Модельная задача.** Рассмотрим желобковую неустойчивость искривленной вдоль поля поверхности, ограничивающей часть пространства, заполненного плазмой (рис. 2). Пусть магнитные силовые линии имеют постоянный радиус кривизны  $R_b$ , векторы  $\mathbf{B}_0$  и  $\mathbf{B}_1$  коллинеарны и на поверхности задан скачок  $[B] = B_0 - B_1$ .

В сечении пространства плоскостью, ортогональной к магнитным силовым линиям, бесконечно протяженная граница  $L$ , отделяющая плазму от вакуума, начнет деформироваться под влиянием дрейфа заряженных частиц. В декартовой системе координат с осью  $x$ , выбранной вдоль невозмущенной границы, кривая  $L$  будет описываться уравнением  $y = Y(t, x)$ . Скорость движения границы вдоль нормали определяется выражением

$$(3.1) \quad D(t, x) = \frac{\partial Y(t, x)}{\partial t} \left\{ 1 + \left( \frac{\partial Y}{\partial x} \right)^2 \right\}^{-1/2}.$$

Рассмотрим малые возмущения границы  $y = Y(t, x)$ . Полагая величины  $Y$ ,  $\partial Y / \partial t$ ,  $\Sigma$ ,  $\partial \Sigma / \partial t$ ,  $Y(t, x')$  —  $\bar{Y}(t, x)$  малыми первого порядка и пренебрегая их квадратами и произведениями, из (1.16), (2.1), (3.1) получим линеаризованную систему уравнений

$$\begin{aligned} \frac{\partial \Sigma}{\partial t} &= \frac{-2B_1}{B_0 + B_1} \left( G \frac{\partial Y}{\partial x} + v \frac{\partial^3 Y}{\partial t \partial x^2} \right) - \frac{B_0 - B_1}{\pi(B_0 + B_1)} \frac{\partial}{\partial t} \int_{-\infty}^{+\infty} \frac{\partial Y}{\partial t} \frac{dx'}{x' - x}, \\ \frac{\partial Y}{\partial t} &= \frac{1}{\pi} \int_{-\infty}^{+\infty} \Sigma(t, x') \frac{dx'}{x' - x}, \quad G = \frac{p_\parallel + p_\perp}{\rho R_b}, \quad v = \frac{p_\perp}{2\rho\omega_i}, \end{aligned}$$

где параметры  $G$  и  $v$  имеют размерности ускорения и вязкости.

Из второго уравнения системы следует, что функция  $\partial Y / \partial t$  является сопряженной к  $\Sigma$  относительно преобразования Гильберта с ядром Коши [21]. С помощью обратного преобразования интеграл, стоящий в правой части первого уравнения, можно выразить через функцию  $\Sigma$ . После не-

сложных выкладок имеем

$$(3.2) \quad \frac{\partial Y}{\partial t} = \frac{1}{\pi} \int_{-\infty}^{+\infty} \Sigma(t, x') \frac{dx'}{x' - x}, \quad \frac{\partial \Sigma}{\partial t} = -G \frac{\partial Y}{\partial x} - v \frac{\partial^3 Y}{\partial t \partial x^2}.$$

Устойчивость системы (3.2) по отношению к возмущениям вида  $\exp(-i\omega t + ikx)$  определяется дисперсионным соотношением

$$(3.3) \quad \omega^2 + vk^2\omega + Gk = 0.$$

Легко видеть, что при  $v = 0$  система неустойчива, причем инкремент неустойчивости  $\gamma(k)$  неограниченно увеличивается с ростом волнового числа. При  $v \neq 0$  возмущения растут только при  $0 < k < k_0$ , где  $k_0 = (4G/v^2)^{1/3}$ . Инкремент достигает своего максимального значения  $\gamma_* = \sqrt{3}/2(G^2/v)^{1/3}$  при  $k = (G/v^2)^{1/3}$ . Таким образом, учет гировязкости приводит к стабилизации коротковолновых мод. Рост возмущений происходит в интервале длин волн, значительно превосходящих величину ларморовского радиуса:

$$\lambda > \lambda_0 = \pi/k_0 = \pi\{v^2/(4G)\}^{1/3} \simeq R_i(R_b/R_i)^{1/3} \gg R_i,$$

что указывает на применимость используемого выше подхода к анализу неустойчивости. Следует отметить, что решение уравнения (3.3) имеет и действительную часть, зависящую от  $k$ . Это приводит к эффекту волнового распространения начальных возмущений, который также определяется наличием гировязкости. Длинноволновые возмущения смещаются с фазовой скоростью  $-vk/2$ .

Рассмотрим желобковые возмущения типа «волнового пакета»

$$(3.4) \quad Y(t = 0, x) = Y_0/\{1 + (x/x_0)^2\}, \quad \Sigma(t = 0, x) = 0.$$

При  $v = 0$  задача (3.2), (3.4) решается с помощью интегрального преобразования Фурье

$$(3.5) \quad Y(t, x) = Y_0 x_0 \int_0^\infty \exp(-kx_0) \operatorname{ch}(t\sqrt{Gk}) \cos(kx) dk.$$

Для больших  $x$  можно получить асимптотику решения

$$Y(t, x) \simeq \frac{Y_0 x_0}{x^2} \left( x_0 - \frac{Gt^2}{2} \right).$$

При  $x = 0$  интеграл (3.5) вычисляется:

$$(3.6) \quad Y(t, x = 0) = Y_0 \left\{ \frac{\frac{t}{2}\sqrt{G}}{2} \sqrt{\frac{\pi}{x_0}} \exp\left(\frac{Gt^2}{4x_0}\right) \operatorname{erf}\left(\frac{\frac{t}{2}\sqrt{G}}{2\sqrt{x_0}}\right) + 1 \right\}.$$

Из (3.6) видно, что желобковое возмущение (3.4) развивается значительно быстрее синусоидального и рост амплитуды ускоряется при уменьшении ширины импульса  $x_0$ .

Введем масштабы длины  $Y_0$ , времени  $\sqrt{Y_0/G}$  и заряда  $\sqrt{Y_0 G}$ . В безразмерных переменных задача (3.2), (3.4) примет вид

$$(3.7) \quad \begin{aligned} \frac{\partial Y}{\partial t} &= \frac{1}{\pi} \int_{-\infty}^{+\infty} \Sigma(t, x') \frac{dx'}{x' - x}, \quad Y(t = 0, x) = \frac{1}{(1 + xd)^2}, \\ \frac{\partial \Sigma}{\partial t} &= -\frac{\partial Y}{\partial x} - \frac{1}{\operatorname{Re}} \frac{\partial^3 Y}{\partial t \partial x^2}, \quad \Sigma(t = 0, x) = 0, \end{aligned}$$

где  $\operatorname{Re} = Y_0 \sqrt{Y_0 G}/v$  — аналог числа Рейпольдса;  $d = Y_0/x_0$  — «добротность» начального импульса.

Аналогично преобразуется формула (3.5), результаты вычисления по которой при  $d = 1$  приведены на рис. 3. Кривые 1 и 2 отвечают поло-

жению границы в моменты  $t = 0$  и  $2$ . Наблюдается симметричная относительно оси ординат картина развития неустойчивости. Видно, что в некоторый момент времени возникает отрицательная фаза, расчет хорошо согласуется с асимптотикой.

При  $v \neq 0$  задача (3.7) исследуется методом конечных разностей [22]. Результаты расчетов также приведены на рис. 3, где для  $Re = 2$ ,  $d = 1$  показано, как деформируется граница плазмы к моменту  $t = 2$  (кривая 3). Учет гировязкости приводит к интересным эффектам. Видно, что амплитуда возмущения растет не так быстро, как при ее отсутствии (ср. с кривой 2), причем ось наибольшего роста возмущения смещается влево по сравнению с начальным расположением. По-прежнему наряду с развитием положительной фазы образуется отрицательная, однако волновая структура теряет симметрию. На рис. 3 иллюстрируется процесс разделения зарядов на границе плазмы ( $v \neq 0$ , кривая 4) от начального момента, когда  $\Sigma = 0$ , до момента времени  $t = 2$ . Видно, что положительные и отрицательные заряды концентрируются на разных склонах выступов и провалов, образующихся на границе. Возникающее при этом локальное электрическое поле стимулирует развитие неустойчивости.

Отметим еще одно обстоятельство. Расчеты (3.7) при фиксированном  $Re$  и вариации параметра  $d$  показали, что существует определенное значение «добротности» начального импульса (3.4), при котором рост амплитуды возмущения происходит с наибольшей скоростью. Это соответствует факту существования длины волны  $\lambda_*$  синусоидального возмущения, отвечающей наибольшему значению инкремента нарастания.

**4. Эволюция границы центрального сечения облака веретенообразной формы.** Пусть контур  $L$  задан уравнением  $r = R(t, \theta)$  в полярных координатах  $r, \theta$  (см. рис. 1). Учитывая, что

$$D = \frac{\partial R}{\partial t} \left\{ 1 + \left( \frac{1}{R} \frac{\partial R}{\partial \theta} \right)^2 \right\}^{-1/2}, \quad \cos \eta = \frac{\partial R}{\partial \theta} \left\{ R^2 + \left( \frac{\partial R}{\partial \theta} \right)^2 \right\}^{-1/2},$$

из (1.16), (2.1) получим линеаризованную систему уравнений относительно малых величин  $R_1$  и  $\Sigma_1$  ( $R = R_0 + R_1$ ,  $\Sigma = \Sigma_1$ ):

$$(4.1) \quad \begin{aligned} \frac{\partial R_1}{\partial t} &= \frac{1}{2\pi} \frac{B_0 - B_1}{B_0 + B_1} \int_0^{2\pi} \frac{\partial R_1}{\partial t} d\theta + \frac{1}{2\pi} \int_0^{2\pi} \Sigma_1 \operatorname{ctg} \frac{\theta' - \theta}{2} d\theta', \\ \frac{\partial \Sigma_1}{\partial t} &= \frac{1}{2\pi} \frac{\partial}{\partial t} \left\{ \int_0^{2\pi} \Sigma_1 d\theta - \frac{B_0 - B_1}{B_0 + B_1} \int_0^{2\pi} \frac{\partial R_1}{\partial t} \operatorname{ctg} \frac{\theta' - \theta}{2} d\theta' \right\} - \\ &- \frac{2B_1}{B_0 + B_1} \left\{ \frac{G}{R_0} \frac{\partial R_1}{\partial \theta} + \frac{v}{R_0^2} \frac{\partial^2 R_1}{\partial t \partial \theta^2} \right\}, \quad R_1(t, 0) = R_1(t, 2\pi), \Sigma_1(t, 0) = \Sigma_1(t, 2\pi). \end{aligned}$$

Используя формулу обращения преобразования Гильберта [21] и условия разрешимости (1.10), из первого уравнения системы (4.1) находим

$$(4.2) \quad \Sigma_1 = - \frac{1}{2\pi} \int_0^{2\pi} \frac{\partial R_1}{\partial t} \operatorname{ctg} \frac{\theta' - \theta}{2} d\theta'.$$

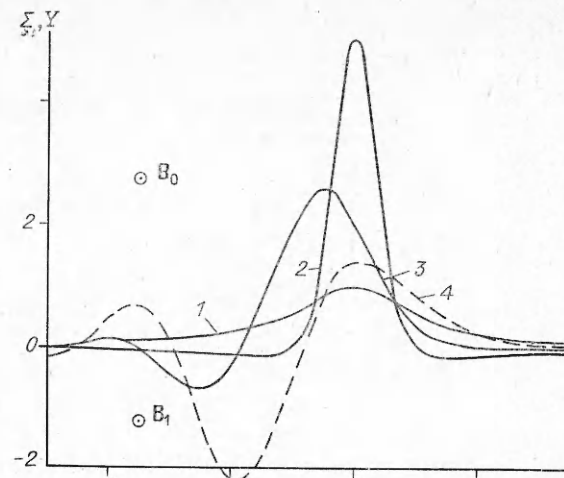


Рис. 3

Вводя масштабы длины  $R_0$  и времени  $(R_0/G)^{1/2}$  и применяя (4.2), систему (4.1) можно переписать в безразмерном виде

$$(4.3) \quad \frac{\partial R_1}{\partial t} = \frac{1}{2\pi} \int_0^{2\pi} \Sigma_1 \operatorname{ctg} \frac{\theta' - \theta}{2} d\theta', \quad \frac{\partial \Sigma_1}{\partial t} = - \frac{\partial R_1}{\partial \theta} - \frac{1}{\operatorname{Re}} \frac{\partial^3 R_1}{\partial t \partial \theta^2}.$$

Легко выписать дисперсионное соотношение системы (4.3)

$$(4.4) \quad \omega^2 + \omega k^2 / \operatorname{Re} + k = 0, \quad \omega = w + i\gamma, \quad k \in Z,$$

$$w = -k^2 / (2 \operatorname{Re}), \quad \gamma = (k - w^2)^{1/2}, \quad k_* = \operatorname{Re}^{2/3}$$

и ее точное решение для синусоидального начального возмущения:

$$(4.5) \quad R_1 = A \exp(\gamma t) \cos(wt - k\theta), \quad \sin \varepsilon = -w/|\omega|,$$

$$\Sigma_1 = A |\omega| \exp(\gamma t) \sin(wt - k\theta + \varepsilon), \quad \cos \varepsilon = -\gamma/|\omega|.$$

В соответствии с (4.5) наблюдается развитие периодической системы плоских струй на границе плазменного сгустка. Картина распределения заряда заметно смешена по фазе. Вся конфигурация вращается против часовой стрелки (если смотреть с конца вектора  $\mathbf{B}$ ) с угловой скоростью  $w/k = -0,5k/\operatorname{Re}$ . Численный расчет (4.3) для  $A = 0,1$ ,  $\operatorname{Re} = 10$  ( $k_* = 4$ ) обнаруживает хорошее совпадение с (4.5) [22].

Рассмотрим эволюцию единичного желобка, определяемого в начальный момент времени выражениями

$$(4.6) \quad R_1 = A / \{1 + (\theta/\theta_0)^2\}, \quad \Sigma_1 = 0,$$

где параметр  $\theta_0$  характеризует «добротность» импульса. На рис. 4 показаны результаты численного решения системы (4.3) при  $\operatorname{Re} = 10$ ,  $A = 0,1$ ,  $\theta_0 = 3\pi/40$ . Окружность 1 отвечает невозмущенной границе, кривая 2 — начальному возмущению, 3 — деформации поверхности (зависимость  $R(\theta)$ ) в момент  $t = 2$ . Видно, что эволюция возмущения происходит в соответствии с ранее установленными закономерностями. Имеет место быстрое развитие положительной фазы с образованием плоской струи; появляется отрицательная фаза, отсутствовавшая в начальном профиле. Кривая 4 построена по зависимости  $\Sigma(\theta)$  при  $t = 2$ . Точки кривой, отвечающие положительным (отрицательным) значениям заряда, откладывались от окружности 1 на внешних (внутренних) частях прямых  $\theta = \text{const}$ . Разделение зарядов на поверхности происходит так, что заряды разного знака концентрируются на разных склонах выступов и впадин. Возникающее в результате локальное электрическое поле (показано стрелками) ведет к дальнейшему развитию неустойчивости. Следует отметить, что желобок, деформируясь со временем, смещается в направлении против часовой стрелки, если смотреть с конца вектора  $\mathbf{B}$ .

На рис. 5 приведены результаты расчета нескольких вариантов развития возмущения (4.6), различающихся значением параметра  $\theta_0$ . Положения границы показаны в момент времени  $t = 2$ . Линии 1—3 отвечают значениям  $\theta_0 = h, 2h, 6h$  ( $h = \pi/32$ ). Расчеты демонстрируют избирательный характер развития неустойчивости, проявляющийся при учете гироэлектрического поля. Видно, что наиболее интенсивно развивается возмущение, соответствующее  $\theta_0 = 2h$ . Отметим, что на практике обычно реализуется конфигурация, отвечающая наибольшей растущей со временем моде возмущения.

**5. Сравнение с экспериментом.** Рассмотрим экспериментальные данные [4] по изучению неустойчивости поверхности лабораторной плазмы, расширяющейся в магнитном поле. Во время разлета плазменное облако фотографировалось со скоростью  $\sim 1$  кадр/мкс. Температура плазмы 10 эВ, суммарная масса облака в пределах  $10^{-7}$ — $10^{-6}$  г ( $10^{15}$ — $10^{16}$  атомов Cu), характерный размер облака 3 см. При сечении столкновений  $10^{-16}$  см $^2$  (для указанной температуры кулоновское сечение близко к газодинамическому) длина свободного пробега частиц  $10^2$  см. Ларморовский радиус при значении магнитной индукции  $B = 0,77$  Тл достигал  $\sim 0,5$  см.

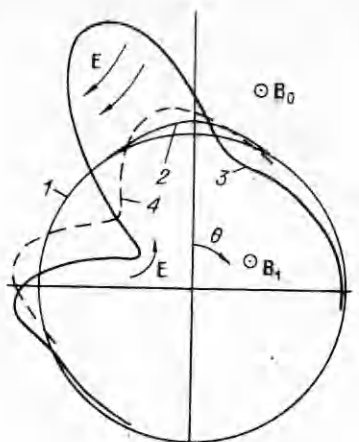


Рис. 4

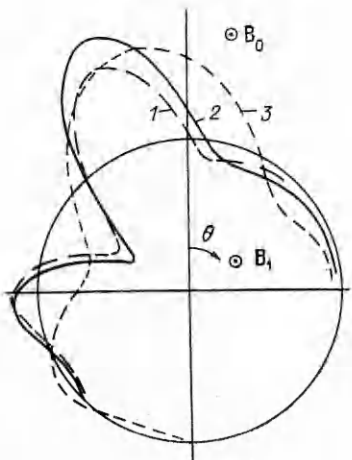


Рис. 5

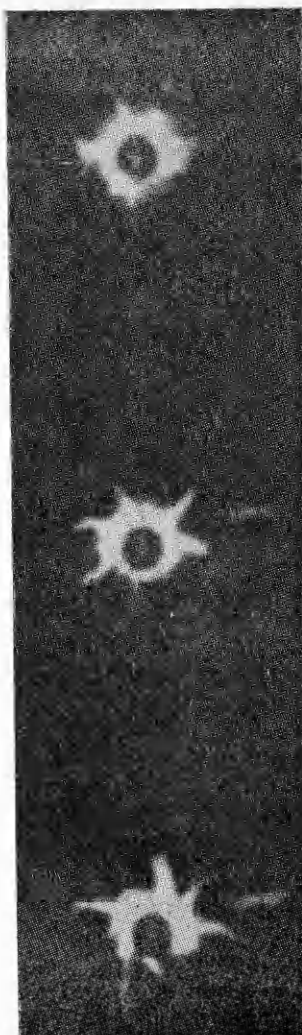


Рис. 6

Видно, что эксперимент может быть описан в рамках принятой в настоящей работе модели бесстолкновительной плазмы с учетом гировязкости. Оценим число Рейнольдса для указанных значений параметров:

$$Re = R_0 \sqrt{\frac{R_0(p_{\perp} + p_{\parallel})}{\rho R_b}} \frac{2\rho\omega_i}{p_{\perp}} \approx 2R_0 \sqrt{\frac{2p}{\rho}} \omega_i \approx 2\sqrt{2} \frac{R_0}{R_i} \approx 17.$$

Согласно (4.4), волновое число, отвечающее максимальному инкременту нарастания, равно  $\sim 6-7$ . Примерно такое число желобков и наблюдается на фотографиях в [4] (рис. 6). Рассматривая последовательность фотографий облака (соответственно на 9, 12 и 13 мкс после начала разлета), можно заметить смещение желобков вдоль его поверхности поперек магнитного поля. Смещение желобков подчиняется правилу, установленному выше.

#### ЛИТЕРАТУРА

1. Акасофу С. И., Чепмен С. Солнечно-земная физика.— М.: Мир, 1975.
2. Ляцкий В. Б., Мальцев Ю. П. Магнитосферно-ионосферное взаимодействие.— М.: Наука, 1983.
3. Метелкин Е. В., Федорович Г. В. Геомагнитные эффекты движения внутримагнитосферных плазменных сгустков // Геомагнетизм и аэрономия.— 1985.— Т. 25, № 6.

4. Dickinson H., Bostick W. H., Di Marco J. N., Koslov S. Experimental study of Rayleigh — Taylor instability in plasma // Phys. Fluids. — 1962. — V. 5, N 9.
5. Davidson R. C., Krall N. A. Anomalous transport in high-temperature plasmas with applications to solenoidal fusion systems // Nuclear Fusion. — 1977. — V. 17, N 6.
6. Захаров Ю. П., Оришич А. М., Пономаренко А. Г. Лазерная плазма и лабораторное моделирование нестационарных космических процессов. — Новосибирск: ИТПМ СО АН СССР, 1988.
7. Райзер Ю. П. О торможении и превращениях энергии плазмы, распирающейся в пустом пространстве, в котором имеется магнитное поле // ПМТФ. — 1963. — № 6.
8. Poukey J. W. Expansion of a plasma shell into a vacuum magnetic field // Phys. Fluids. — 1969. — V. 12, N 7.
9. Бахрах С. М., Губков Е. В., Жмайло В. А. и др. Разлет плазменного облака в однородном магнитном поле // ПМТФ. — 1974. — № 4.
10. Головозин В. М., Корниш Т. К., Любимов Б. Я. и др. Численное исследование разлета плазмы в магнитном поле. — М., 1978. — (Препр./Ин-т прикл. математики АН СССР; № 61).
11. Башурин В. П., Голубев А. И., Терехин В. А. О бесстолкновительном торможении ионизированного облака, разлетающегося в однородную замагниченную плазму // ПМТФ. — 1983. — № 5.
12. Березин Ю. А., Вшивков В. А., Сытников В. П. Численная кинетико-гидродинамическая модель плазмы в магнитном поле // ЧММСС. — 1984. — Т. 15, № 3.
13. Метелкин Е. В. О поляризации плазменного облака, распирающегося в неоднородном магнитном поле // ПМТФ. — 1989. — № 3.
14. Кролл Н., Трайвлис А. Основы физики плазмы. — М.: Мир, 1975.
15. Заславский Г. М., Моисеев С. С. О влиянии магнитной вязкости на устойчивость плазмы с анизотропным давлением // ПМТФ. — 1962. — № 6.
16. Кадомцев Б. Б. Гидромагнитная устойчивость плазмы // Вопросы теории плазмы. — М.: Госатомиздат, 1963. — Вып. 2.
17. Седов Л. И. Механика сплошной среды. — М.: Наука, 1976. — Т. 1.
18. Мухелишвили И. И. Сингулярные интегральные уравнения. — М.: Физматгиз, 1962.
19. Франк-Каменецкий Д. А. Лекции по физике плазмы. — М.: Атомиздат, 1968.
20. Шикин И. С. Магнитогидродинамические уравнения для плазмы без столкновений с учетом магнитной вязкости // Проблемы современной механики. — М.: Изд-во МГУ, 1983. — Ч. 2.
21. Титчмарш Е. С. Введение в теорию интегралов Фурье. — М.: Гостехиздат, 1948.
22. Кестенбойм Х. С., Метелкин Е. В., Федорович Г. В., Фролов А. Г. О желобковой неустойчивости плазменного облака, разлетающегося в однородном магнитном поле. — М., 1989. — (Препр./Ин-т проблем механики АН СССР; № 371).

г. Москва

Поступила 6/XII 1990 г.,  
в окончательном варианте — 24/VII 1991 г.

УДК 535.434 : 551.593

*H. H. Белов, С. О. Суслов*

## АСИМПТОТИКИ ФАЗОВЫХ ФУНКЦИЙ НЕПОГЛОЩАЮЩИХ РАДИАЛЬНО-НЕОДНОРОДНЫХ ЧАСТИЦ

В последнее время большой интерес представляет расчет характеристик светорассеяния малых сферических частиц с радиально-неоднородным показателем преломления [1—3]. Аналитическое решение эта задача имеет лишь в некоторых частных случаях [1, 2], поэтому возникает необходимость разработки численных методов для ее решения [1, 3]. Одним из них является метод фазовых функций [4], позволяющий достаточно точно рассчитывать оптические характеристики радиально-неоднородных частиц при сравнительно небольших затратах машинного времени и открывающий широкие перспективы исследования оптики таких частиц. Однако некоторые вопросы, связанные с данным методом, остаются до сих пор не решенными. В частности, не найдены выражения, описывающие поведение фазовых функций вблизи центра шара, использование которых повысит точность получаемых результатов. Отсутствуют также критерии оценки точности расчетов указанным методом. Эти пробелы восполняются в настоящей работе.